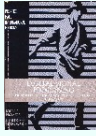


13 Algoritmi fundamentali de tip FFT



Evitarea reinindexării semnalelor de intrare și ieșire (continuare)

“butterfly”

FFT-timp

$v_l[\mathcal{R}_{\text{MSB}}[m]]$

$v_l[\mathcal{R}_{\text{MSB}}[2^{L-1} + m]]$

$\frac{m}{2^{L-l-1}}$

-1

$v_{l+1}[m]$

$v_{l+1}[2^{L-1} + m]$

$\forall m \in \overline{0, 2^{L-1} - 1}$

$\forall l \in \overline{0, L-1}$

Exponentul armonicei elementare pare straniu...

Algoritm fundamental cu structură internă variabilă

$v_0 \equiv x$

$x[0]$

$x[1]$

$x[2]$

$x[3]$

$x[4]$

$x[5]$

$x[6]$

$x[7]$

v_1

w_0^0

w_4^0

w_8^0

v_2

w_4^1

w_8^1

$v_3 \equiv X$

$X[0]$

$X[1]$

$X[2]$

$X[3]$

$X[4]$

$X[5]$

$X[6]$

$X[7]$

Nu este necesară efectuarea împărțirii întregi.

$\left\lfloor \frac{m}{2^k} \right\rfloor$

Se rețin toți biții *mai semnificativi* ai lui m , mai puțin ultimii k .

Exemple

$v_l[00|0=0]$

$v_l[01|0=2]$

$v_{l+1}[00|0=0]$

$v_{l+1}[10|0=4]$

$v_l[10|1=5]$

$v_l[11|1=7]$

$v_{l+1}[01|1=3]$

$v_{l+1}[11|1=7]$

$l = 1$

$l = 1$

Exercițiu

- Descrieți acest algoritm pentru cazul segmentării în frecvență.

L-1 \dots **k** \dots **1** **0** (151)

MSB **MSB** **LSB**

1 **0** **0** **1** (9)

MSB

176

13 Algoritmi fundamentali de tip FFT



Conservarea structurii blocurilor paralele de calcul

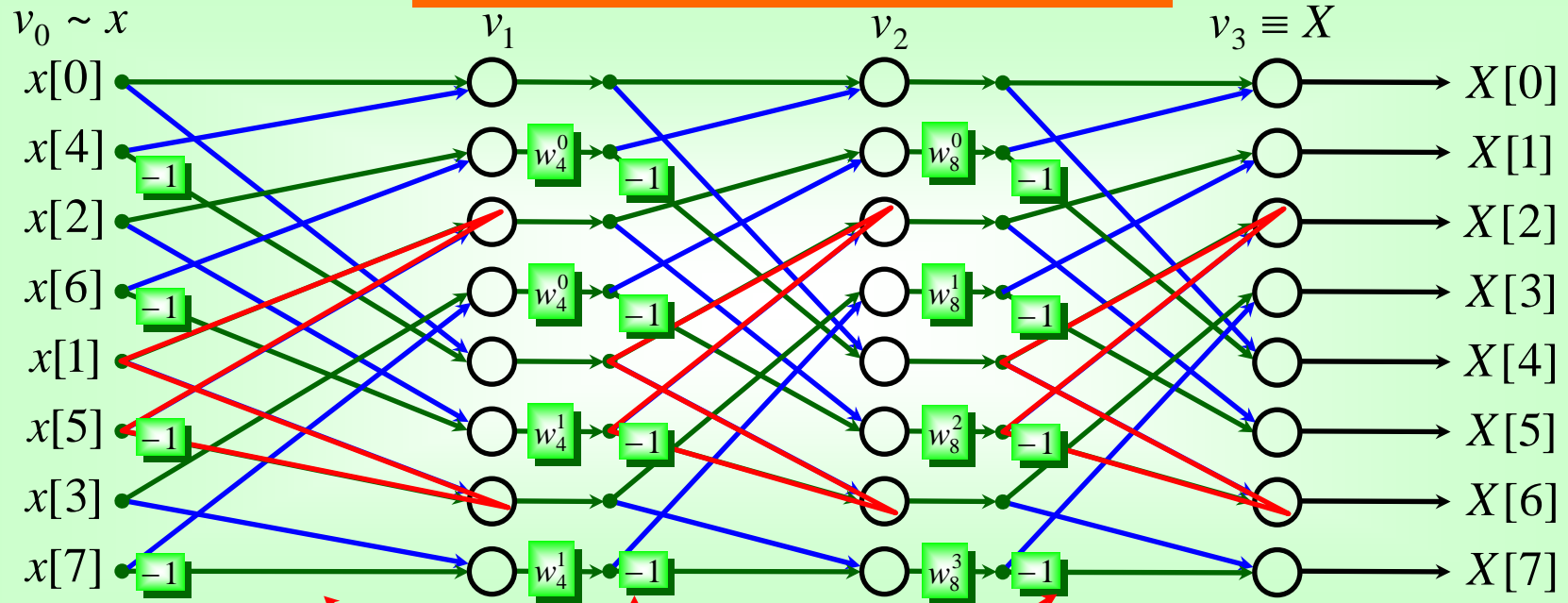
Algoritmul fundamental de tip (R.C.) Singleton

- Semnalul de intrare v_0 sau semnalul de ieșire v_L se obțin prin rearanjare.
- Geometria blocurilor paralele de calcul este deformată, dar constantă.

Exemplu

$$N = 8 = 2^3$$

Schema de calcul (Singleton FFT-timp)

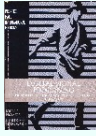


↳ 3 trepte de calcul paralel

↳ Se poate observa geometria deformată, dar constantă de-a lungul treptelor de calcul.

- Algoritmul este extrem de bine adaptat pentru implementări de tip **auto-recursiv**.

13 Algoritmi fundamentali de tip FFT



Conservarea structurii blocurilor paralele de calcul (continuare)

Cum se poate implementa
structura constantă de-a lungul
treptelor de calcul?



Trebuie analizată cu atenție **indexarea**
intrărilor și ieșirilor blocului paralel
generic de calcul (de tip “butterfly”).



Intrările blocului de calcul
sunt întotdeauna de forma

$v_l[0]$
 $v_l[1]$

:

$v_l[2m]$
 $v_l[2m+1]$
⋮
 $v_l[2^L - 2]$
 $v_l[2^L - 1]$

$v_l[2m]$

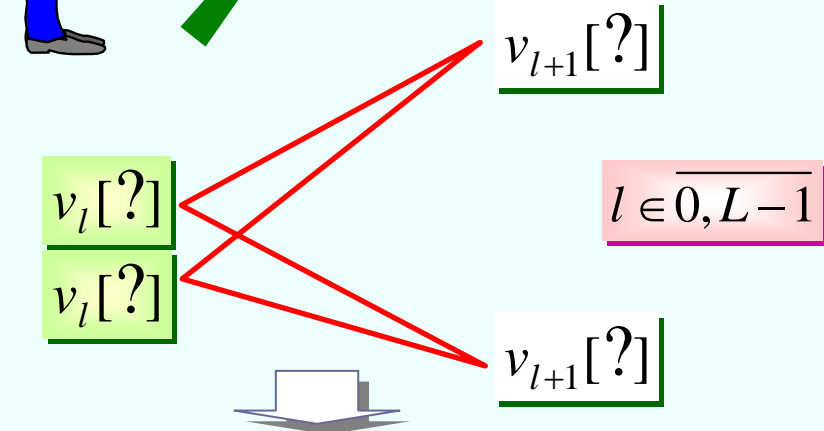
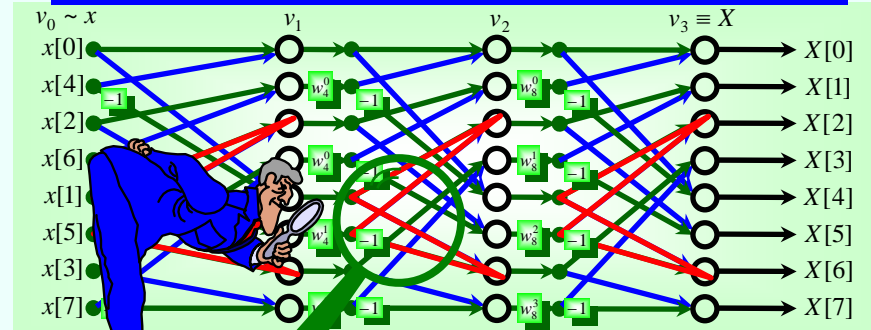
$v_l[2m + 1]$

$m \in \overline{0, 2^{L-1} - 1}$

Semnalul de intrare este segmentat în
două componente imbricate.

⇒ Indexarea intrărilor este
independentă de indicele
treptei de calcul curente.

Algoritmul fundamental de tip Singleton



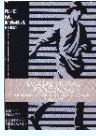
Aşadar

$v_l[2m]$
 $v_{l+1}[2m + 1]$

$m \in \overline{0, 2^{L-1} - 1}$
 $l \in \overline{0, L - 1}$

$v_{l+1}[?]$ 178

13 Algoritmi fundamentali de tip FFT



Conservarea structurii blocurilor paralele de calcul (continuare)

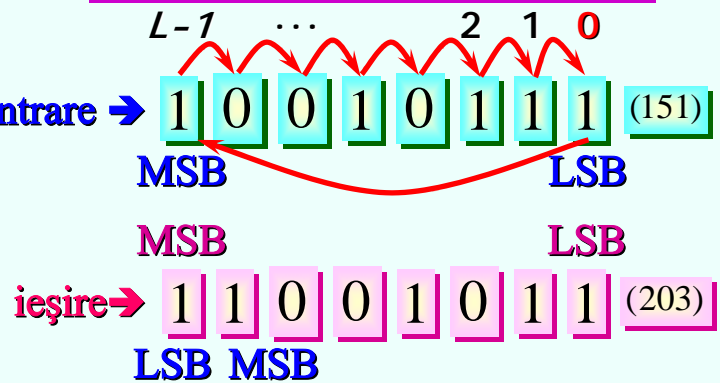
Ieșirile blocului de calcul sunt indexate prin Tehnica relocării bitului cel mai puțin semnificativ (LSB) în reprezentările binare ale indicilor celor 2 intrări.

$$l \in \overline{0, L-1}$$

toate treptele de calcul

$$\begin{matrix} 2m \\ 2m+1 \end{matrix}$$

LSB este relocat în poziția MSB, adică în poziția $L-1$ (unde LSB are poziția 0).



$$\mathcal{R}_{\text{LSB}}[2m]$$

$$\mathcal{R}_{\text{LSB}}[2m+1]$$

Este evidentă următoarea proprietate remarcabilă:

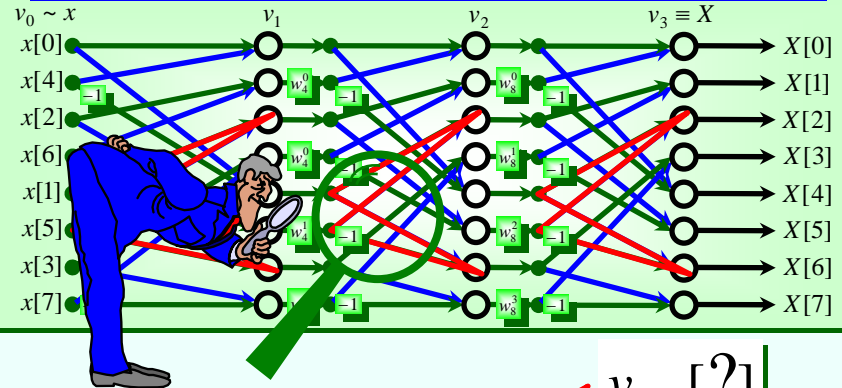
$$\mathcal{R}_{\text{LSB}}[2m+2] = \mathcal{R}_{\text{LSB}}[2m] + 1$$

$$\forall m \in \overline{0, 2^{L-1} - 2}$$

$$\mathcal{R}_{\text{LSB}}[2m+3] = \mathcal{R}_{\text{LSB}}[2m+1] + 1$$

Indicii de ieșire ai blocurilor de calcul succesive sunt consecutivi.

Algoritmul fundamental de tip Singleton



$$v_l[2m]$$

$$v_{l+1}[2m+1]$$

$$v_{l+1}[?]$$

$$m \in \overline{0, 2^{L-1} - 1}$$

$$l \in \overline{0, L-1}$$

$$v_{l+1}[?]$$



Practic, independent de indicele treptei de calcul curente, este suficientă rezolvarea indexării primului bloc de calcul paralel.

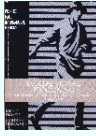
$$v_l[0 \dots 00 = 0]$$

$$v_l[0 \dots 01 = 1]$$

$$v_{l+1}[0 \dots 00 = 0]$$

$$v_{l+1}[10 \dots 0 = 2^{L-1}]$$

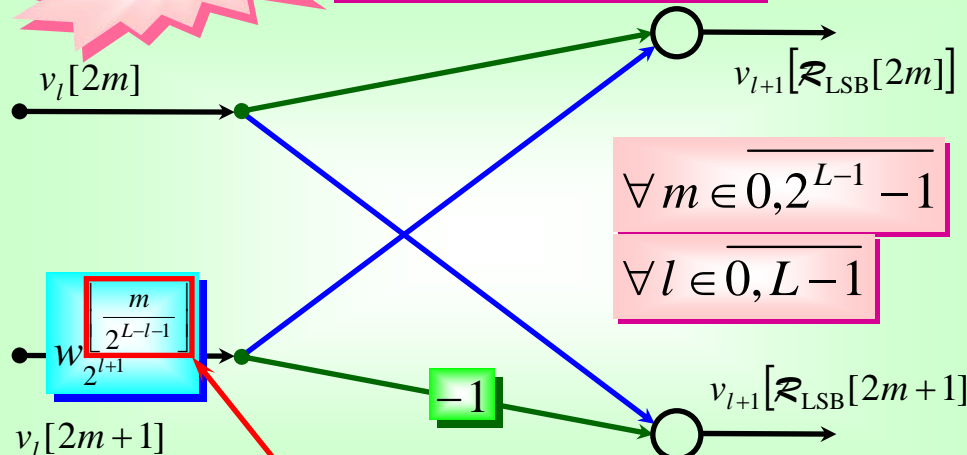
13 Algoritmi fundamentali de tip FFT



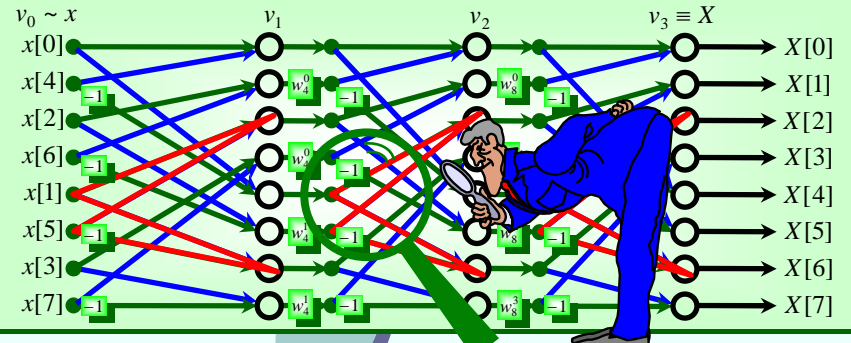
Conservarea structurii blocurilor paralele de calcul (continuare)

“butterfly”

Singleton FFT-timp



Algoritmul fundamental de tip Singleton



Nu este necesară efectuarea împărțirii întregi.

Armonica elementară se amplasează întotdeauna la **indici impari de intrare**.

Exercițiu

- Descrieți acest algoritm pentru cazul segmentării în frecvență.

Cei mai eficienți algoritmi fundamentali de tip FFT.

Caracteristici ale algoritmilor Singleton

- Geometria blocurilor paralele se conservă în interiorul și de-a lungul treptelor de calcul.
- Indexarea eșantioanelor de la intrarea și ieșirea unui bloc de calcul este extrem de ușor de implementat.
- Datorită repetabilității schemei de calcul, algoritmul se pretează la o implementare auto-recursivă.
- Este necesară rearanjarea eșantioanelor semnalului de intrare sau de ieșire.

1 4 Algoritmi compoziti de tip FFT



Nu se poate renunța la condiția ca durata semnalului original să fie o putere a lui 2?

Noi algoritmi de tip FFT: Cooley-Tukey



Intr-adevăr, anumite aplicații necesită **conservarea duratei semnalului de intrare**, chiar dacă nu este exprimată ca o putere a lui 2.



$$x \in S_{dN}$$

Exprimare a duratei sub forma unui număr compozit

divizorul
principal

$$N = P_1 P_2 \cdots P_L$$

(descompunere în factori primi)
(nu neapărat ordonată crescător sau descrescător)



**Ideeua lui
Cooley & Tukey**

Pentru a reduce dimensiunea TFD, se poate aplica Teorema Împărțirii cu Rest (TIR).

$$N = \underbrace{P_1 P_2 \cdots P_L}_{Q_1} = P_1 \cdot Q_1$$

$$n = qP_1 + p \in \overline{0, N-1}$$

$$k = lQ_1 + m \in \overline{0, N-1}$$

$$\begin{cases} q = \left\lfloor \frac{n}{P_1} \right\rfloor \in \overline{0, Q_1 - 1} \\ p = n \% P_1 \in \overline{0, P_1 - 1} \\ l = \left\lfloor \frac{k}{Q_1} \right\rfloor \in \overline{0, P_1 - 1} \\ m = k \% Q_1 \in \overline{0, Q_1 - 1} \end{cases}$$

Algoritmul de descompunere a unui număr natural în factori primi implementează Metoda ("ciurului") lui Eratostene.

1 4 Algoritmi compoziti de tip FFT



Algoritm Cooley-Tukey compozit, cu segmentare în timp



$$TFD_N(x)[k] \stackrel{\text{def}}{=} X[k] = \sum_{n=0}^{N-1} x[n] w_N^{nk} \quad \forall k \in \overline{0, N-1}$$

$$n = qP_1 + p \in \overline{0, N-1}, \text{ unde: } \begin{cases} q = \left\lfloor \frac{n}{P_1} \right\rfloor \in \overline{0, Q_1-1} \\ p = n \% P_1 \in \overline{0, P_1-1} \end{cases}$$

TIR

$$X[k] = \sum_{p=0}^{P_1-1} \sum_{q=0}^{Q_1-1} x[qP_1 + p] w_N^{k(qP_1 + p)} = \sum_{p=0}^{P_1-1} w_N^{kp} \sum_{q=0}^{Q_1-1} x[qP_1 + p] w_N^{kqP_1} = \sum_{p=0}^{P_1-1} w_N^{kp} \sum_{q=0}^{Q_1-1} x[qP_1 + p] w_N^{kqP_1}$$

$$= \sum_{p=0}^{P_1-1} w_N^{kp} \sum_{q=0}^{Q_1-1} x[qP_1 + p] w_{Q_1}^{kq} = \sum_{p=0}^{P_1-1} w_N^{kp} \sum_{q=0}^{Q_1-1} x_p[q] w_{Q_1}^{kq} = \sum_{p=0}^{P_1-1} w_N^{kp} \sum_{q=0}^{Q_1-1} x_p[q] w_{Q_1}^{q(k \% Q_1)}, \quad \forall k \in \overline{0, N}$$

$x_p[q]$

segment de semnal temporal

$$w_{Q_1}^{kq} = w_{Q_1}^{q(lQ_1 + m)} = w_{Q_1}^{qlQ_1} w_{Q_1}^{qm} = w_{Q_1}^{qm} = w_{Q_1}^{q(k \% Q_1)}$$

$$TFD_{Q_1}(x_p)[k \% Q_1] \stackrel{\text{def}}{=} X_p[k \% Q_1] = \sum_{q=0}^{Q_1-1} x_p[q] w_{Q_1}^{q(k \% Q_1)} \quad \forall k \in \overline{0, N-1}$$

⇒ Dimensiunea transformatei a scăzut de P_1 ori.

$$k = lQ_1 + m \in \overline{0, N-1}, \text{ unde: } \begin{cases} l = \left\lfloor \frac{k}{Q_1} \right\rfloor \in \overline{0, P_1-1} \\ m = k \% Q_1 \in \overline{0, Q_1-1} \end{cases}$$

TIR

$$TFD_{P_1Q_1}(x)[k] = \sum_{p=0}^{P_1-1} w_N^{kp} TFD_{Q_1}(x_p)[k \% Q_1] \quad \forall k \in \overline{0, N-1}$$

1 4 Algoritmi compoziti de tip FFT



Algoritmul Cooley-Tukey compozit, cu segmentare în timp (continuare)

Cum pot fi descrise segmentele semnalului temporal?



Semnalul de intrare se poate aranja într-o matrice cu P_1 coloane și Q_1 linii.



indice de segment p

$x[0]$	$x[1]$...	$x[p]$...	$x[P_1 - 1]$
$x[P_1]$	$x[P_1 + 1]$...	$x[P_1 + p]$...	$x[2P_1 - 1]$
...
$x[qP_1]$	$x[qP_1 + 1]$...	$x[qP_1 + p]$...	$x[(q+1)P_1 - 1]$
...
$x[(Q_1 - 1)P_1]$	$x[(Q_1 - 1)P_1 + 1]$...	$x[(Q_1 - 1)P_1 + p]$...	$x[Q_1 P_1 - 1]$

↓ Segment de semnal temporal.

- Fiecare segment de semnal este reprezentat într-un **vector coloană**.
- Durata oricărui segment de semnal este de asemenea un **număr compozit**.

$$Q_1 = P_2 \cdots P_L$$



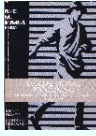
TFD a fiecărui segment se poate exprima cu ajutorul a P_2 transformate de ordin $Q_2 = P_3 \cdots P_L$.

- Procedeul recursiv se oprește la **ultimul număr prim** (P_L), pentru care **TFD** se evaluează folosind **definiția**.



$$P_L = \min\{P_1, P_2, \dots, P_L\}$$

1 4 Algoritmi compoziti de tip FFT

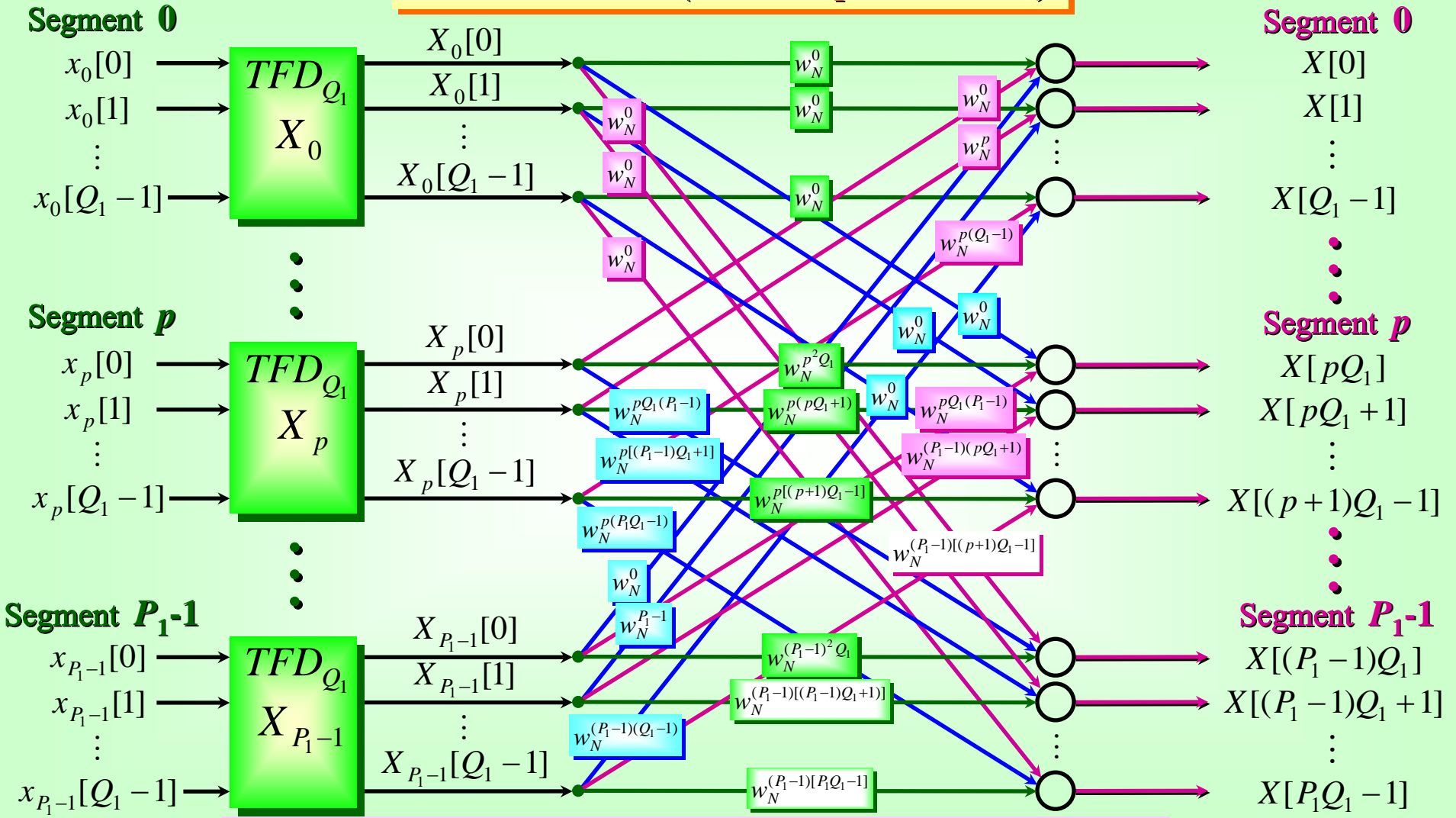


Algoritmul Cooley-Tukey compozit, cu segmentare în timp (continuare)

semnal rearanjat

Schema de calcul (ultima etapă de rafinare)

semnal normal



În funcție de valorile factorilor primi, efortul de calcul poate fi redus prin exploatarea proprietății de simetrie a armonicelor elementare.

1 4 Algoritmi compoziti de tip FFT



Algoritmul Cooley-Tukey compozit, cu segmentare în timp (continuare)



$$TFD_{P_1Q_1}(x)[k] = \sum_{p=0}^{P_1-1} w_N^{kp} TFD_{Q_1}(x_p)[k \% Q_1] \quad \forall k \in \overline{0, N-1}$$

Cooley-Tukey compozit-timp

Efortul de calcul al Algoritmilor Cooley-Tukey compoziti.



$$\mathcal{O}_{CT}[N] = \mathcal{O}_{CT}[P_1Q_1] = P_1\mathcal{O}_{CT}[Q_1] + N[4P_1]_+ + N[2(2P_1 - 1)]_+$$

(relație recursivă)

$$\begin{aligned} \mathcal{O}_{CT}[N] &= \mathcal{O}_{CT}[P_1Q_1] = P_1(\mathcal{O}_{CT}[Q_1] + Q_1[4P_1]_+ + Q_1[2(2P_1 - 1)]_+) = \\ &= P_1(P_2\mathcal{O}_{CT}[Q_2] + Q_1[4P_1]_+ + Q_1[2(2P_1 - 1)]_+) + N[4P_1]_+ + N[2(2P_1 - 1)]_+ = \\ &= P_1P_2\mathcal{O}_{CT}[Q_2] + N[4(P_1 + P_2)]_+ + N[2(2P_1 + 2P_2 - 2)]_+ = \dots = \\ &= P_1 \dots P_{L-1} \mathcal{O}_{TFD}[P_L] + N \left[4 \sum_{i=1}^{L-1} P_i \right]_+ + N \left[2 \left(2 \sum_{i=1}^{L-1} P_i - L + 1 \right) \right]_+ \end{aligned}$$

inducție matematică

$$\mathcal{O}_{TFD}[P_L] = [4P_L^2]_+ + [2P_L(2P_L - 1)]_+$$

$$\mathcal{O}_{CT}[N] = 4N \left[\sum_{i=1}^L P_i \right]_+ + 2N \left[\left(2 \sum_{i=1}^L P_i - L \right) \right]_+ \sim 4 \left(\prod_{i=1}^L P_i \right) \left(\sum_{i=1}^L P_i \right)$$

⇒ Inferior lui $4N^2$.

$$N = P^L \Rightarrow \mathcal{O}_{CT}[P^L] \sim 4LP^{L+1} = 4PN \log_P N$$

$$N = 2^L \Rightarrow \mathcal{O}_{CT}[N] \sim 8N \log_2 N$$

Exercițiu

- Descrieți **Algoritmul Cooley-Tukey compozit, cu segmentare în frecvență**.



De această dată, **semnalul frecvențial trebuie aranjat într-o matrice**, în timp ce **semnalul temporal nu necesită rearanjare**.